

РАСЧЕТ НАПРЯЖЕННО-ДЕФОРМИРОВАННОГО СОСТОЯНИЯ РЕЗИНОВЫХ ЭЛЕМЕНТОВ РМШ ГУСЕНИЧНОГО ДВИЖИТЕЛЯ

С.А. Коростелев, Д.Ю. Каширский, К.С. Нечаев

В работе представлен алгоритм расчета напряженно-деформированного состояния резиновых элементов гусеничного движителя вызванного запрессовкой резинометаллического пальца в отверстия проушин и последующим нагружением радиальной силой и крутящим моментом. В основу алгоритма положен Δ -метод. Численная реализация алгоритма осуществлена применением метода конечных элементов.

Ключевые слова: гусеничный движитель, резинометаллический шарнир, резиновый элемент, напряженно-деформированное состояние.

В современном машиностроении для снижения динамических нагрузок применяют силовые резиновые элементы, которые могут иметь различную форму и конструктивные параметры, иметь различные виды нагружения.

В ходовой части гусеничных машин, а именно для сочленения траков гусеничной цепи наибольшее распространение получили резинометаллические шарниры комбинированного типа с ограничителем радиальной деформации рисунок 1. В процессе эксплуатации резиновые элементы шарнира испытывают:

- большие деформации, вызванные запрессовкой пальца шарнира в проушину звена;
- нагружение, вызванное растягивающим усилием в цепи;
- деформации, вызванные вращением звеньев относительно друг друга.

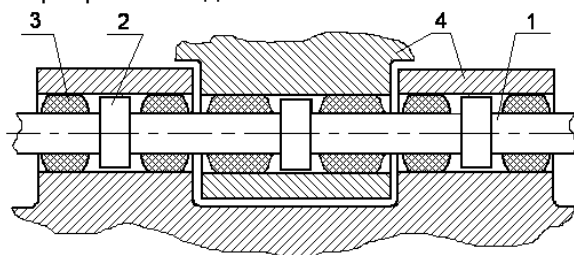
При проектировании резинометаллического шарнирного соединения необходимо обеспечить:

- размещение резиновых элементов в проушинах заданной конструкции звена;
- возможность сборки резиновых элементов, резиновый элемент должен быть расположен на достаточном расстоянии от ограничителя;
- не только отсутствие напыла резины на арматуру пальца, но и исключить возможность заключения абразива между металлом и резиновым элементом;
- при запрессовке возникающие в резиновом элементе касательные напряжения τ_{rz} не должны превышать 1,5 МПа;
- отсутствие проскальзывания резины относительно поверхности проушины при кручении;

- необходимую радиальную жесткость резиновых элементов (радиальная жесткость должна обеспечить как минимум не касание ограничителей на всех ветвях кроме рабочей);

- равную угловую жесткость резиновых элементов двойных и тройных проушин.

В настоящей работе предложен алгоритм расчета напряженно-деформированного состояния резиновых элементов шарнира при запрессовке в проушину звена и при вторичном нагружении крутящим моментом и радиальной силой, который позволяет на стадии проектирования РМШ оценить обоснованность выбора конструктивных параметров шарнирного соединения.



1 – металлическая арматура; 2 – ограничитель радиальной деформации; 3 – резиновый элемент; 4 – проушины сочлененных звеньев
Рисунок 1 - Сочленение траков гусеничной цепи

При рассмотрении деформаций резины, связанных со сборкой резинометаллического шарнирного соединения, функции перемещений u , w , v и функция гидростатического давления s являются функциями координат r , z , θ , а именно для сборки $u = u(r, z)$, $v = 0$, $w = w(r, z)$, $s = s(r, z)$.

Приращение потенциальной энергии для δ - метода на первом шаге деформирования при запрессовке запишется в виде [1,2]

$$\Delta W = \frac{1}{2} \iiint_V (\sigma_r \varepsilon_r + \sigma_\theta \varepsilon_\theta + \sigma_z \varepsilon_z + \tau_{rz} \gamma_{rz}) dV \quad (1)$$

Учитывая, что компоненты тензора напряжений определяются выражениями

$$\sigma_r = G(2\varepsilon_r + s); \quad \sigma_\theta = G(2\varepsilon_\theta + s);$$

$$\sigma_z = G(2\varepsilon_z + s); \quad \tau_{rz} = G\gamma_{rz}, \quad (2)$$

приращение потенциальной энергии запишется в виде

$$\Delta W = \frac{1}{2} G \iiint_V [2\varepsilon_r^2 + 2\varepsilon_\theta^2 + 2\varepsilon_z^2 + \gamma_{rz}^2 + s(\varepsilon_r + \varepsilon_\theta + \varepsilon_z)] dV \quad (3)$$

Учитывая зависимости деформации от перемещений выражение (3) запишется в виде

$$\Delta W = \frac{1}{2} G \iiint_V \left[2u_r^2 + 2\left(\frac{u}{r}\right)^2 + 2w_z^2 + (u_z + w_r)^2 + s\left(u_r + \frac{u}{r} + w_z\right) \right] dV. \quad (4)$$

Здесь и далее нижний индекс у функции перемещений означает частную производную по соответствующей координате.

Полученное выражение справедливо для первого шага.

При определении приращения энергии деформаций на последующих шагах деформирования необходимо учесть работу напряжений, которые возникли в теле на предыдущих шагах. Учитывая это, приращение энергии деформаций примет вид

$$\Delta W = G \iiint_V \left[u_r^2 + \left(\frac{u}{r}\right)^2 + w_z^2 + \frac{1}{2}(u_z + w_r)^2 + \left(\frac{s}{2} + s^0\right)\left(u_r + \frac{u}{r} + w_z\right) + 2u_r^0 u_r + 2\left(\frac{u^0}{r}\right) + 2w_z^0 w_z + u_z u_z^0 + u_z w_r^0 + w_r u_z^0 + w_r w_r^0 \right] dV \quad (5)$$

Здесь и далее верхний индекс «0» у функций перемещений и гидростатического давления относится к напряженно-деформированному состоянию на предыдущем этапе деформирования.

Для численной реализации алгоритма применен метод конечных элементов. Описание геометрической формы рассматриваемой конструкции и аппроксимация перемещений осуществлена четырехугольными изопараметрическими элементами изображенными на рисунке 2.

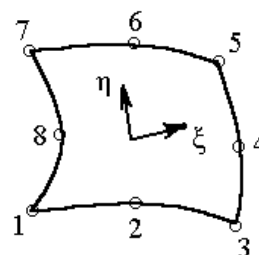


Рисунок 2 - Изопараметрический конечный элемент

Функции формы для элемента записываются в терминах безразмерных координат ξ, η в виде [3,4]

$$[N(\xi, \eta)] = [N_1(\xi, \eta) \quad N_2(\xi, \eta) \quad \dots \quad N_8(\xi, \eta)], \quad (6)$$

Координаты и перемещения точки элемента соответственно определяются выражениями

$$r = [N(\xi, \eta)]\{r\}; \quad z = [N(\xi, \eta)]\{z\};$$

$$u = [N(\xi, \eta)]\{u\}; \quad w = [N(\xi, \eta)]\{w\}, \quad (7)$$

где

$$\{r\} = [r_1 \quad r_2 \quad \dots \quad r_8]^T,$$

$$\{z\} = [z_1 \quad z_2 \quad \dots \quad z_8]^T \text{ - векторы соответствующих координат узловых точек;}$$

$$\{u\} = [u_1 \quad u_2 \quad \dots \quad u_8]^T,$$

$$\{w\} = [w_1 \quad w_2 \quad \dots \quad w_8]^T \text{ - векторы соответствующих перемещений узловых точек.}$$

Чтобы построить матрицу жесткости элемента отвечающую механическому поведению резинового элемента необходимо вычислить производные функций перемещения по r и z . Перемещения заданы в виде функций от координат ξ, η . Определение производных перемещений по r и z можно осуществить, применяя правило дифференцирования сложных функций

$$\begin{Bmatrix} \frac{\partial N_i}{\partial r} \\ \frac{\partial N_i}{\partial z} \end{Bmatrix} = [J]^{-1} \begin{Bmatrix} \frac{\partial N_i}{\partial \xi} \\ \frac{\partial N_i}{\partial \eta} \end{Bmatrix}, \quad i=1,2,\dots,8 \quad (8)$$

$$\text{где } [J] = \begin{bmatrix} \frac{\partial N}{\partial \xi} \\ \frac{\partial N}{\partial \eta} \end{bmatrix}_{2 \times 8} \quad [\{r\} \quad \{z\}]_{8 \times 2}.$$

Производные функции формы по ξ и η определены в работе [4].

В дискретном виде функционал (5) принимает вид

$$\Delta W = \iiint_V \left(\{u\}^T [A_1] \{u\} + \{w\}^T [A_2] \{w\} + \{u\}^T [A_3] \{w\} + \right. \\ \left. + \{u\}^T [A_4] \{u^0\} + \{u\}^T [A_5] \{w^0\} + \right. \\ \left. + \{w\}^T [A_6] \{w^0\} + \{w\}^T [A_7] \{u^0\} + \{s\}^T [A_8] \{u\} + \{s\}^T [A_9] \{w\} + \right. \\ \left. + \{s^0\}^T [A_8] \{u\} + \{s^0\}^T [A_9] \{w\} \right) dV, \quad (9)$$

где

$$[A_1] = G \left([N_r]^T [N_r] + \frac{1}{r^2} [N]^T [N] + \frac{1}{2} [N_z]^T [N_z] \right); \\ [A_2] = G \left([N_z]^T [N_z] + \frac{1}{2} [N_r]^T [N_r] \right); \\ [A_3] = G \left([N_z]^T [N_r] \right); \\ [A_4] = 2G \left([N_r]^T [N_r] + \frac{1}{r^2} [N]^T [N] + \frac{1}{2} [N_z]^T [N_z] \right); \\ [A_5] = G \left([N_z]^T [N_r] \right); \\ [A_6] = 2G \left([N_z]^T [N_z] + \frac{1}{2} [N_r]^T [N_r] \right); \\ [A_7] = G \left([N_z]^T [N_r] \right); \\ [A_8] = \frac{G}{2} \left([N_r]^T [N_r] + \frac{1}{2r} [N]^T [N] \right); \\ [A_9] = \frac{G}{2} \left([N_z]^T [N_z] \right),$$

Здесь и далее нижний индекс у функции формы означает частную производную.

Для минимизации функционала дифференцируем выражение (9) и получаем

$$\frac{\partial(\Delta W)}{\partial\{u\}} = \iiint_V \left(2[A_1] \{u\} + [A_3] \{w\} + [A_8]^T \{s\} + \right. \\ \left. + [A_5] \{w^0\} + [A_8]^T \{s^0\} \right) dv = 0; \\ \frac{\partial(\Delta W)}{\partial\{w\}} = \iiint_V \left([A_3]^T \{u\} + 2[A_2] \{w\} + [A_9]^T \{s\} + \right. \\ \left. + [A_7] \{u^0\} + [A_6] \{w^0\} + [A_9]^T \{s^0\} \right) dv = 0 \\ \frac{\partial(\Delta W)}{\partial\{s\}} = \iiint_V \left([A_8] \{u\} + [A_9] \{w\} \right) dv = 0. \quad (10)$$

Учитывая выражения (10) матрица жесткости элемента, описывающего упругое поведение резины, запишется в виде

$$[K_p] = 2\pi \int_{-1}^1 \int_{-1}^1 \begin{bmatrix} 2[A_1] & [A_3] & [A_8]^T \\ [A_3]^T & 2[A_2] & [A_9]^T \\ [A_8] & [A_9] & 0 \end{bmatrix} r |\det[J]| d\xi d\eta \quad (11)$$

Произведение $[H] \begin{Bmatrix} \{u^0\} \\ \{w^0\} \\ \{s^0\} \end{Bmatrix}$, где

$$[H] = 2\pi \int_{-1}^1 \int_{-1}^1 \begin{bmatrix} [A_4] & [A_5] & [A_8]^T \\ [A_7] & [A_6] & [A_9]^T \\ 0 & 0 & 0 \end{bmatrix} r |\det[J]| d\xi d\eta,$$

позволяет учесть влияние деформации элемента определенной на предыдущем шаге деформирования.

Приведенные соотношения позволяют определить напряженно-деформированное состояние резиновых элементов после сборки, располагая которым можно приступить к рассмотрению алгоритма расчета при вторичном нагружении вызванным относительным поворотом звеньев.

При рассмотрении деформаций резины, связанных с вторичным нагружением крутящим моментом резинометаллического шарнирного соединения, функции перемещений u , w , v являются функциями координат r , z , θ , т.е. $u = 0$, $v = v(r, z)$, $w = 0$.

Приращение потенциальной энергии для δ -метода при вторичном нагружении крутящим моментом запишется в виде

$$\Delta W = \frac{1}{2} \iiint_V (\tau_{r\theta} \gamma_{r\theta} + \tau_{z\theta} \gamma_{z\theta}) dV. \quad (12)$$

Учитывая, что компоненты тензора напряжений определяются выражениями

$$\tau_{r\theta} = G \gamma_{r\theta}; \quad \tau_{z\theta} = G \gamma_{z\theta},$$

и соотношения между деформациями и перемещениями, приращение потенциальной энергии запишется в виде

$$\Delta W = \frac{1}{2} G \iiint_V \left[v_r^2 - 2v \frac{v}{r} + \frac{v^2}{r^2} + v_z^2 \right] dV. \quad (13)$$

В матричном виде выражение (13) перепишется в следующем виде

$$\Delta W = \iiint_V \left(\{v\}^T [A_1] \{v\} \right) dV, \quad (14)$$

где

$$[A_1] = \frac{G}{2} \left([N_r]^T [N_r] + \frac{2}{r} [N_r]^T [N] + \frac{1}{r^2} [N]^T [N] + [N_z]^T [N_z] \right).$$

Для минимизации функционала дифференцируем выражение (14) и получаем

$$\frac{\partial(\Delta W)}{\partial\{v\}} = \iiint_V \left(2[A_1] \{v\} \right) dv = 0. \quad (15)$$

Таким образом, матрица жесткости резинового элемента при вторичном нагружении крутящим моментом запишется в виде

$$[K_p] = 2\pi \int_{-1}^1 \int_{-1}^1 2[A_1] r |\det[J]| d\xi d\eta. \quad (16)$$

Изложенные выше соотношения положены в основу программного комплекса [5], который позволяет определить поле тензоров напряжений, деформаций и их инвариантов в теле резинового элемента резинометаллического пальца гусеницы при сборке и при вторичном нагружении крутящим моментом.

Следующим этапом является расчет напряженно-деформированного состояния резинометаллического пальца при действии растягивающего усилия в гусеничной цепи.

При рассмотрении деформирования резинового элемента, связанного с вторичным нагружением радиальной силой резинометаллического шарнирного соединения, функции перемещений u , w , v и функция гидростатического давления s являются функциями координат r , z , θ , т.е. $u = u(r, z, \theta)$, $v = v(r, z, \theta)$, $w = w(r, z, \theta)$, $s = s(r, z, \theta)$.

Поступая аналогичным образом, получаем выражения для приращения потенциальной энергии для δ -метода при вторичном нагружении радиальной силой, которое в окончательной форме имеет вид

$$\begin{aligned} \Delta W = \Delta W_0 + \frac{1}{2} G \iiint_V & \left[2u_r^2 + 2\frac{1}{r^2}(v_\theta + u)^2 + 2w_z^2 + \right. \\ & + \left(\frac{1}{r}u_\theta + v_r - \frac{v}{r} \right)^2 + (u_z + w_r)^2 + \left(v_z + \frac{1}{r}w_\theta \right)^2 + \\ & + s \left(u_r + \frac{1}{r}v_\theta + \frac{u}{r} + w_z \right) + 4u_r u_r^0 + 4\frac{1}{r^2}v_\theta v_\theta^0 + 4\frac{u}{r^2}v_\theta^0 + \\ & + 4\frac{u^0}{r^2}v_\theta + 4\frac{uu^0}{r^2} + 4w_z w_z^0 + 2u_z u_z^0 + 2w_r w_r^0 + \\ & + 2u_z w_r^0 + 2w_r w_r^0 + 2\frac{1}{r^2}u_\theta u_\theta^0 + 2\frac{1}{r}v_r u_\theta^0 - \\ & - 2\frac{1}{r^2}v u_\theta^0 + 2\frac{1}{r}u_\theta v_r^0 + 2v_r v_r^0 - 2\frac{1}{r}v v_r^0 + \\ & + 2\frac{1}{r^2}v v^0 + 2v_z v_z^0 + 2\frac{1}{r}w_\theta v_z^0 + 2\frac{1}{r}v_z w_\theta^0 + \\ & \left. + 2\frac{1}{r^2}w_\theta w_\theta^0 + s^0 \left(u_r + \frac{1}{r}v_\theta + \frac{u}{r} + w_z \right) \right] dV. \quad (17) \end{aligned}$$

Для описания геометрической формы резинового элемента и аппроксимации перемещений при вторичном нагружении радиальной силой, используются трехмерные призматические изопараметрические элементы [3] состоящие из 20 узлов рисунок 3.

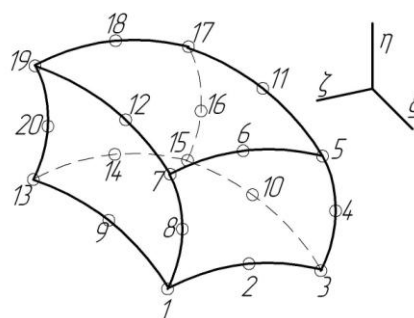


Рисунок 3 – Изопараметрический конечный элемент

Матрица жесткости элемента, описывающего упругое поведение резины и матрица, учитывающая влияние деформации элемента полученной на предыдущем этапе деформирования, определяется, как это было рассмотрено выше для расчета деформирования резинового элемента при сборке.

Приведенные соотношения позволяют определить напряженно-деформированное состояние резиновых элементов после вторичного нагружения радиальной силой. По предложенному алгоритму создана программа для ЭВМ [7].

Для проверки адекватности предложенного алгоритма были выполнены расчеты напряженно-деформированного состояния и определены механические характеристики для образцов с прямоугольным сечением резиновых элементов и результаты расчета сопоставлены с данными экспериментального исследования опытных образцов [8]. Так на рисунке 4 приведены картины распределения перемещений по сечению деформированного образца.

Анализ картины деформированного состояния (рисунок 4) построенной по экспериментальным данным и по данным расчета показал, что максимальные отклонения перемещения узлов в сетке не превышает 2,6% для степени обжатия 20...40%.

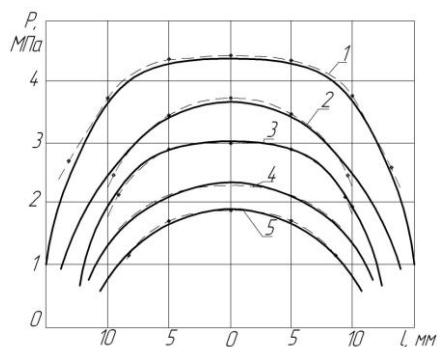


1 – данные расчета;
2 – данные эксперимента

Рисунок 4 – Распределение перемещений по сечению деформированного образца при степени обжатия $\lambda = 32,5\%$

РАСЧЕТ НАПРЯЖЕННО-ДЕФОРМИРОВАННОГО СОСТОЯНИЯ РЕЗИНОВЫХ ЭЛЕМЕНТОВ РМШ ГУСЕНИЧНОГО ДВИЖИТЕЛЯ

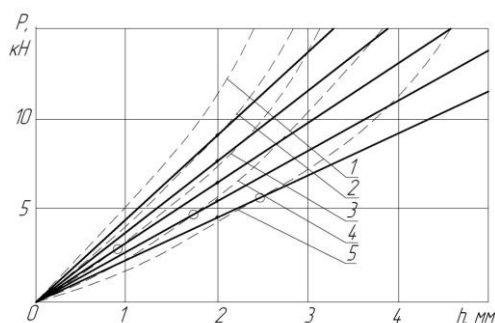
На рисунке 5 представлены эпюры удельных давлений на поверхности контакта резинового элемента и проушины при различных степенях запрессовки, полученные экспериментальным и расчетными путями.



- 1 – при степени обжатия $\lambda = 42,5\%$;
 2 – при $\lambda = 37,5\%$; 3 – при $\lambda = 32,5\%$;
 4 – при $\lambda = 27,5\%$; 5 – при $\lambda = 22,5\%$;
 — — расчет; — — эксперимент

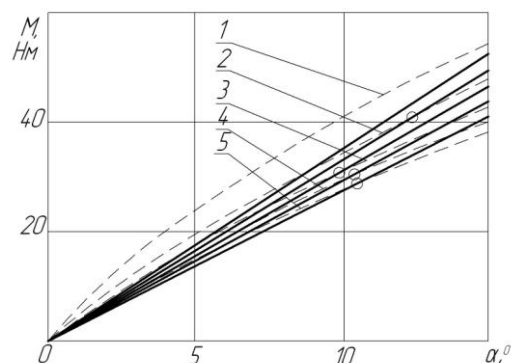
Рисунок 5 - Сопоставление эпюр распределения осредненных удельных давлений по длине резинового элемента

На рисунке 6 представлены характеристики радиальной жесткости, построенные по данным эксперимента и по данным расчета. В конструкциях РМШ сельскохозяйственных тракторов перемещение в радиальном направлении ограничено величиной радиального зазора между поверхностью проушины и поверхностью ограничителя, и в существующих конструкциях не превышает 0,4...0,7 мм. Поэтому, представленный алгоритм в рамках указанного диапазона радиальной деформации, позволяет достаточно точно определить радиальную жесткость резиновых элементов.



- 1 – при степени обжатия $\lambda = 42,5\%$;
 2 – при $\lambda = 37,5\%$; 3 – при $\lambda = 32,5\%$;
 4 – при $\lambda = 27,5\%$; 5 – при $\lambda = 22,5\%$;
 — — расчет; — — эксперимент

Рисунок 6 - Сопоставление результатов расчета и экспериментальных данных по радиальной жесткости



- 1 – при степени обжатия $\lambda = 42,5\%$;
 2 – при $\lambda = 37,5\%$; 3 – при $\lambda = 32,5\%$;
 4 – при $\lambda = 27,5\%$; 5 – при $\lambda = 22,5\%$;
 — — расчет; — — эксперимент

Рисунок 7 - Сопоставление результатов расчета и экспериментальных данных по угловой жесткости

На рисунке 7 представлены характеристики угловой жесткости резиновых элементов, построенные по результатам расчета и по данным эксперимента. Так как величина закручивания резиновых элементов в существующих конструкциях шарниров не превышает 8° , то представленный алгоритм позволяет с достаточной точностью определять угловую жесткость резиновых элементов РМШ.

Предложенный в настоящей работе алгоритм позволяет выполнять расчет напряженно-деформированного состояния для резиновых элементов любой геометрической формы и благодаря пошаговому нагружению учитывать изменение граничных условий в процессе нагружения, т.е. учитывать наплыв резины на арматуру пальца или соприкосновение с поверхностью ограничителя.

СПИСОК ЛИТЕРАТУРЫ

1. Дымников С.И., Лавендел Э.Э. Прикладные методы расчета изделий из высокоэластичных материалов/ Дымников С.И., Лавендел Э.Э. – Рига: Зинатне, 1980. – 238с.
2. Лавендел Э.Э. Расчет резинотехнических изделий/ Лавендел Э.Э. - М.: Машиностроение, 1976. – 232 с.
3. Сегерлинд Л. Применение метода конечных элементов/ Сегерлинд Л. - М.: Мир, 1979. – 392 с.
4. Коростелев С.А. Определение угловой жесткости РМШ гусеничного движителя комбинированного типа/ С.А. Коростелев, Д.Ю. Каширский // «Вестник КГТУ. Вып. 39. Серия транспорт», Крас-

ноярский государственный технический университет. - Красноярск: ИПЦ КГТУ, 2005. - С. 217-222.

5. Коростелев С.А. Определение напряженно-деформированного состояния резиновых элементов резинометаллического шарнирного соединения гусеничного движителя после сборки (RMSb) / С.А. Коростелев // Свидетельство об официальной регистрации программы для ЭВМ № 2006611128. Зарегистрировано в Реестре программ для ЭВМ 6 мая 2006 г.

6. Определение механических характеристик резиновых элементов резинометаллических шарниров гусеничного движителя / Д.Ю. Каширский, С.А. Коростелев. Деп. в ВИНТИ 16.05.2006, № 663-В2006. – Барнаул, 2006. – 28 с.

7. Коростелев С.А. Определение механических характеристик резиновых элементов резинометаллического шарнира гусеничного движителя при статическом нагружении (RMSb) / С.А. Коростелев // Свидетельство об официальной регистрации программы для ЭВМ № 2006612761. Зарегистрировано в Реестре программ для ЭВМ 6 мая 2006 г

8. Целищев В.А. Исследование оптимальных параметров цилиндрических резино-металлических шарниров гусениц сельскохозяйственных тракторов / Целищев В.А.: дис. - Барнаул, 1974. – 208 с.

Коростелев С.А., к.т.н., доцент кафедры «Автомобили и тракторы»,
E-mail: korsan73@mail.ru;

Каширский Д.Ю., к.т.н., доцент кафедры «Организация и безопасность движения»,
E-mail: dimka_kash@mail.ru;

Нечаев К.С., ст. преподаватель кафедры «Организация и безопасность движения», р.т. +7(3852) 29-08-09
ФГБОУ ВПО «Алтайский государственный технический университет им. И.И. Ползунова»